

# مژاریتولیناهای (Mesorbitolinas) سازند داریان در برش چینه‌شناسی دشتک، شمال شیراز

فاطمه صفری<sup>۱</sup>، محسن یزدی مقدم<sup>۲</sup>، فرشته سجادی<sup>\*</sup>

<sup>۱</sup> دانشگاه تهران، پردیس علوم، دانشکده زمین‌شناسی، تهران، ایران

<sup>۲</sup> مدیریت اکتشاف شرکت ملی نفت ایران، تهران، ایران

تاریخ پذیرش: ۱۳۸۷/۰۵/۰۴

تاریخ دریافت: ۱۳۸۷/۰۵/۰۵

## چکیده

به منظور شناسایی گونه‌های مختلف اریتولینا موجود در سازند داریان و تعیین سن آنها، از آهک‌های بخش بالایی سازند داریان در برش دشتک نمونه‌برداری شد. بر اساس اندازه، شکل و پیچیدگی حجره جینی اریتولینا، پنج گونه متعلق به زیر جنس *Mesorbitolina* شامل *lotzei*, *Orbitolina (M.) parva*, *Mesorbitolina* شامل *Orbitolina (M.) texana*, *Orbitolina (M.) subconcava*, *Orbitolina (M.) sp. cf. M. pervia* انجام شده بخش بالایی سازند داریان انتهای آپتین پیشین-آپتین پسین (*late early Aptian-late Aptian*) تعیین سن شد. در این بررسی مرز آپتین پیشین و پسین (early/late Aptian) بر اساس پیدایش *O. (M.) parva* مشخص می‌شود.

**کلیدواژه‌ها:** مژاریتولینا، آپتین، سازند داریان، برش چینه‌شناسی دشتک، شمال شیراز

E-mail: sajjadi@khayam.ut.ac.ir

## ۱- مقدمه

- ۱- بخش زیرین به ستبرای ۵۰ متر شامل آهک‌های خاکستری و متوسط لایه است که آثار آهن در آنها قابل دیدن است.
- ۲- بخش میانی به ستبرای ۷۵ متر شامل آهک‌های سیاه چربی نازک لایه است که دارای رادیولر و روزن داران پلاتکتونیک فراوان است. این واحد میانی، آهک‌های اریتولین دار بخش بالایی سازند داریان را از آهک‌های فاقد اریتولین بخش زیرین جدا می‌کند.
- ۳- بخش بالایی به ستبرای ۲۵۱ متر به طور عمده شامل آهک‌های خاکستری و دارای اریتولین‌های فراوان است. مطالعه حاضر تنها بر روی آهک‌های این بخش از سازند داریان انجام شده است.

## ۴- تاریخچه بررسی‌های پیشین اریتولین‌ها در ایران

در قرن نوزدهم و اوایل قرن بیستم اریتولین‌ها بر اساس شکل ظاهری طبقه‌بندی شدند. اولین بار (Henson 1948) بر اساس ساختار داخلی، اریتولین‌ها را در خاورمیانه طبقه‌بندی کرد. وی کتاب خود را با عنوان "Larger imperforate foraminifera from southwestern Asia" منتشر کرد و در این کتاب چهار گونه واریته‌های مربوط به جنس اریتولین‌های ایران را شامل: *Orbitolina concava* (Lamarck) var. *sefina* Henson, *Orbitolina cf. discoidea* Gras, *Orbitolina cf. concava* (Lamarck), *Orbitolina kurdica* Henson

چینه‌شناسی رسوبات تریاس تا پلیو-پلیستوسن شمال

خارو سپر عربستان و قسمتی از کوه‌های زاگرس را مطالعه کردند و *Orbitolina discoidea* را از سازند داریان معرفی نمودند.

Sampo (1969) با مطالعه ریزخسارها و ریزسنگوارهای سازندهای زاگرس در جنوب باختر ایران دو زون اریتولینی جدید برای آلبین به نام‌های *Orbitolina* – *discoidea* – *conoidea* مربوط به سازندهای داریان و سروک و *Orbitolina concava* subspp. مربوط به سازندهای سروک و کزدمی را معرفی کرد.

Seyed-Emami et al. (1971) چینه‌شناسی سنگ‌های کرتاسه در جنوب اصفهان را مورد مطالعه قرار دادند و برش به نسبت کاملی از کرتاسه (بارمین-کامپین/ماستریشتن) در ناحیه کلاه‌فاضی جنوب خاور اصفهان را توصیف کردند. در میان واحدهای مشخص شده (با ستبرای ۱۰۰۰ متر) سه واحد اریتولین دار دیده شد که

اریتولین‌ها یکی از مهم‌ترین گروه‌های روزن داران بزرگ آگلوئینه هستند که به علت محدوده زمانی کوتاهی (short range) که دارند، در تعیین سن رسوبات و زیست چهنه‌نگاری نهشته‌های خاورمیانه از اهمیت بسیاری برخوردارند. اریتولین‌ها در ابتدا بر اساس شکل خارجی صدفشن مطالعه و تقسیم‌بندی می‌شدند. اما امروزه مشخص شده است که شرایط محیطی بر روی شکل صدف اریتولین‌ها بر طور کامل مؤثر است به همین علت بررسی‌های گسترده‌ای بر روی حجره جینی اریتولین‌ها صورت گرفته است. اولین بار (Henson 1948) با استفاده از ساختمان داخلی، اریتولین‌ها را شناسایی و رده‌بندی نمود. سپس (Schroeder 1962) اثبات نمود که دستگاه جینی مهم‌ترین عامل در شناسایی و طبقه‌بندی تاکسونومیکی اریتولین‌ها است. بیشتر بررسی‌هایی که تاکنون در ایران انجام شده، بر اساس شکل ظاهری اریتولین‌ها صورت گرفته است. در این مطالعه سعی شده است که گونه‌های اریتولین‌ها بر اساس حجره جینی آنها شناسایی و توصیف شوند.

## ۲- روش مطالعه

به منظور انجام این مطالعه، آهک‌های بخش بالایی سازند داریان در برش چینه‌شناسی دشتک که حاوی مجموعه متنوع و غنی از اریتولین‌ها است، انتخاب شد. ۹۳ نمونه از بخش مورد نظر برداشت شد. از هر نمونه سنگ دست کم دو و بیشینه شش مقطع نازک تهیه شد که توسط میکروسکوپ دو چشمی با نور معمولی و پولاریزان مورد مطالعه قرار گرفتند. با استفاده از ویژگی‌های دستگاه جینی گونه‌های زیر جنس *Mesorbitolina* شناسایی و توصیف شدند.

## ۳- موقعیت جغرافیایی و چینه‌شناسی برش دشتک

کوه دشتک با روند شمال باخته - جنوب خاور در فاصله ۱۰۷ کیلومتری شمال شیراز و در مجاورت روستای دشتک قرار دارد. برش مورد نظر بر روی یال جنوبی این تاقدیس واقع است. مختصات جغرافیایی رأس برش روزمنی ۴۵° ۲۷' ۵۲" طول خاوری و ۳۰° ۱۶' ۵۷" عرض شمالی است (شکل ۱).

سازند داریان در برش دشتک ۳۷۶ متر ستبرای دارد. مرز پایین آن با سازند گدوان هم شبی و تدریجی است. مرز بالایی آن نیز با سازند کزدمی به صورت هم شبی است و ناپیوستگی موجود در برش الگو در آن دیده نمی‌شود. این سازند از نظر چینه‌شناسی در برش دشتک به سه بخش قابل جدایش است:

***Orbitolina (Mesorbitolina) lotzei* Schroeder, 1964**

(Pl. 1, Fig. 2)

1970 *Mesorbitolina lotzei* Schroeder; Saint-Marc; pl. 1, figs. 7, 8.

1994 *Orbitolina (Mesorbitolina) lotzei* Schroeder; Witt&Gokdag,pl.10.1,fig.5.

2000 *Mesorbitolina lotzei* Schroeder; Simmons et al., pl. 3, figs. 7-8.

2000 *Orbitolina (Mesorbitolina) lotzei* Schroeder; Husinec et al., p. 162,  
fig. 6, 7.

ویژگی‌های خارجی

پوسته مخروط کوتاه با قاعده کم و بیش مسطح است، زاویه‌ای که از امتداد دو ضلع مخروط به وجود می‌آید  $132^\circ - 135^\circ$  اندازه گیری شده است.

## — ویژگی‌های داخلی دستگاه چینی

دستگاه جنبی شامل پروتوکونک، دوتروکونک و ناحیه ساب آمبریونیک است. در نمونه‌های مطالعه شده قطر دستگاه جنبی  $0.135 \pm 0.015$  میلی‌متر و قطر پروتوکونک  $0.062 \pm 0.005$  میلی‌متر است (لازم به یادآوری است که در تمام اندازه‌گیری‌ها، قطر داخلی اندازه گرفته شده است). مهم‌ترین ویژگی این گونه اندازه کوچک دستگاه جنبی و تقسیمات کم ناحیه ساب آمبریونیک است. ساب آمبریونیک توسط یک تا دو دیواره عمودی و دوتروکونک توسط دو دیواره که به طور بسیار ناقص توسعه یافته، تقسیم شده‌اند. (2) (pl. 1, fig. 1) از نمونه‌ها (JR 3661, pl. 1, fig. 2) دوتروکونک حالت الحاقی خود را با پروتوکونک حفظ کرده که از این رو به جنس پراربیتولینا (Praeorbitolina) شناخته شده است. اما وجود دستگاه جنبی کم و بیش مرتعی شکل، آن را به زیر جنس مزاربیتولینا متعلق می‌سازد. وجود دستگاه جنبی که به طور کامل در رأس واقع نشده است، شکل خاص دوتروکونک و تقسیمات بسیار کم و ناقص در این نمونه گویا و یادآور آن است که در Mesorbitolina (lotzei) از تکامل Orbitolina (pl. 1, fig. 1) دستگاه جنبی کوچک و نامتقارن است که شامل پروتوکونک و دوتروکونک الحاقی است که تا حدی به وسیله ناحیه ساب آمبریونیک احاطه شده‌اند. در برش افقی (Horizontal) از بالاترین بخش ناحیه ساب آمبریونیک، تقسیمات ساب آمبریونیک به صورت پنج حجره ییضی شکل اطراف پروتوکونک دیده شده است (شکل ۴). در این حجرات ییضی شکل، فاصله بین دو دیواره عمودی  $0.045 \pm 0.013$  میلی‌متر و ارتفاع آنها  $0.05 \pm 0.01$  میلی‌متر است. اندازه دستگاه جنبی در چهار نمونه و قطر پروتوکونک در سه نمونه اندازه گیری شده و همچنین اندازه میانگین محاسبه شده آنها بر حسب میلی‌متر در جدول ۱ آمده است.

انتشار حینه‌شناسی

(Velic, 1988, 2007) این گونه را از رسوبات بالاترین بخش آپتین زیرین حوضه آدرياتيك گزارش نموده است. همچنین اين گونه از رسوبات آپتین زيرين سازند شعيبا در عمان (Witt & Gokdag, 1994) و از رسوبات آپتین زيرين کرواسي (Husinec et al., 2000) گزارش شده است.

Simmons et al. (2000) در بازنگری که بر مجموعه نمونه‌های هنسون داشته‌اند، *Orbitolina (M.) lotzei* را از رسوبات لبنان و یمن معرفی می‌کنند و سن بالاترین بخش آتش‌نشانی (latest early Antian) را به افغانستان محتاط‌باف می‌دانند. نظر مگنند

#### *Orbitolina (Mesorbitolina) parva* (Douglass, 1960)

(Pl. 1, Figs. 3-7)

1960 *Orbitolina parva* Douglass; Douglass, pl. 9, figs. 5, 6, 7.  
 Non 1960 *Orbitolina parva* Douglass; Douglass, pl. 9, figs. 4, 8.  
 1963 *Orbitolina lenticularis* (Blumenbach); Hofker, pl. 7, figs. 13, 15; pl. 8,

عبارتند از:

۱) آهک‌های اربیتولین دار پایینی به ستبرای ۳۰۰ متر (Barremian)

۲) شیل و مارن اریتولین دار به ستبرای ۱۵۰ متر (lower Aptian).

(۳) آهک های اریستولین دار بالابی به سمترا ۹۰ متر (upper Aptian).  
واحد یک و دو دارای *Orbitolina lenticularis* و واحد سه دارای فسیل های  
*Orbitolina texana texana*, *Orbitolina conoidea*, *Orbitolina discoida*,  
و *Orbitolina texana parva* است.

(Mehrnbush 1973) اریتولین های کرتاسه زیرین اصفهان را بررسی کرده و Praeorbitolina sp. Praeorbitolina cormyi, Palorbitolina lenticularis گزارش و توصیف نمود.

سازندهای رسوبی و رخسارهای میکروسکوپی زاگرس (Kalantari, 1992) را مورد مطالعه قرار داده و *O. kurdica*, *O. discoidea*, *O. lenticularis* و *O. Orbitolina cf. trochus* را از رسوبات آمکی سازنده داریان گزارش کرد. Simmons et al. (2000) با توجه به حجم جنبی که مهمترین عامل در زیر تقسیمات تاکسونومیکی (taxonomic subdivision) است، اریتولین های موجود در هenson (1948) را بازنگری کرده اند که شش گونه متعلق به مجموعه نمونه های (Henson, 1948) را ایجاد کرده اند. اساس طبقه بندی حاصل به شرح ذیل است:

*Palorbitolina lenticularis* (Blumenbach, 1805), *Palorbitolinoides hedini* (Cherchi & Schroeder, 1980), *Mesorbitolina texana* (Roemer, 1948), *Mesorbitolina subconcava* (Leymerie, 1878), *Mesorbitolina pervia* (Douglass, 1960), *Orbitolina sefni* Henson (Schroeder, 1962).

۵- سیستماتیک گونه‌های مختلف Mesorbitinas موجود در سازند  
داریان، پوش دشت

## **Order Foraminiferida Eichwald, 1930**

## **Superfamily Ataxophragmiacea Schwager, 1877**

## **Family Orbitolinidae Martin, 1890**

### **Genus *Orbitolina* d'Orbigny, 1850**

### **Subgenus: *Mesorbitolina* Schroeder, 1962**

در زیر جنس مزاریتولینا (*Mesorbitolina*) دستگاه جنینی در رأس قرار دارد و در برش محوری طرح کلی آن مربع یا تقریباً مستطیلی شکل است و شامل پروتوکونک (protoconch)، دوتروکونک (deutoconch) و ناحیه ساب آمربیونیک (subembryonic zone) است. دوتروکونک و ناحیه ساب آمربیونیک از ستبرای کم ویش یکسانی برخوردارند و توسط دیوارهای عمودی (partitions) تقسیم شده‌اند (شکل ۲). با توجه به اندازه و ویژگی‌های ساختاری دستگاه جنینی، پنج گونه ریتولین متعلق به زیر جنس مزاریتولینا شناسایی شدند. به طور کلی گونه‌های شناسایی شده از زیر جنس مزاریتولینا در این تحقیق به دو گروه کلی *tex-* و *ana form* قابل تقسیم هستند (شکل ۳). گروه يك شامل

(New Mexico) با سن آلبین گزارش شده است. همچنین این گونه از رسوبات آپتین پسین تا آلبین پیشین حوضه آدریاتیک (Velic, 1988; 2007)، از رسوبات آپتین پسین سازند شعیبا در عمان (Witt & Gokdang, 1994)، از رسوبات آلبین زیرین کرواسی (Sartorio & Verturini, 1988)، از رسوبات آپتین پسین یمن (Husinec et al., 2000) و از رسوبات آپتین پسین ژاپن (Iba & Sano, 2006) نیز گزارش شده است.

***Orbitolina (Mesorbitolina) texana (Roemer, 1849)***

(Pl. 1, Figs. 8-11; pl. 2, Figs. 1-4)

- 1932 *Orbitolina conoidea* Gras; Silvestri in Ellis & Messina, fig. 14.
- 1948 *Orbitolina kurdica* Henson – Henson, p. 48.
- 1960 *Orbitolina minuta* Douglass; Douglass, pl. 7, fig. 9.
- Non 1960 *Orbitolina texana* (Roemer); Douglass, pl. 6, figs. 1 & 3-6.
- 1960 *Orbitolina parva* Douglass; Douglass, pl. 9, figs. 4, 8.
- 1963 *Orbitolina lenticularis* (Blumenbach); Hofker, pl. 7, figs 16-18; pl. 8, figs. 10-11; pl. 10, figs. 6, 9-10; pl. 13, figs. 13-14; pl. 16, fig. 7.
- 1969 *Orbitolina discoidea-conoidea*; Sampo, pl. 37, fig. 11.
- 1971 *Orbitolina conoidea* Gras; Seyed Emami et al., pl. 1, fig. 5; pl. 2, fig. 2.
- 1973 *Orbitolina (Mesorbitolina) texana* (Roemer); Fourcade & Raoult, pl. 1, figs. 6-7.
- Non 1975 *Orbitolina (Mesorbitolina) texana* (Roemer); Moullade & Saint-Marc, pl. 13, figs. 8-13; pl. 14, figs. 1-2.
- 1975 *Orbitolina (Mesorbitolina) libanica* Henson; Moullade & Saint-Marc, p. 833, pl. 14, figs. 4-12.
- 1975 *Orbitolina (Mesorbitolina) minuta* Douglass; Moullade & Saint-Marc, pl. 12, figs. 12-16; pl. 13, figs. 1-6.
- 1977 *Orbitolina (Mesorbitolina) minuta* Douglass; Rey et al., pl. 2, fig. 10.
- 1978 *Orbitolina (Mesorbitolina) minuta* Douglass; Moullade et al., pl. 1, fig. 5.
- 1978 *Orbitolina (Mesorbitolina) texana* Roemer; Cherchi et al., pl. 1, figs. 1-6, 8-10.
- 1985 *Orbitolina (Mesorbitolina) texana* Roemer, Schroeder in Schroeder & Neumann, pl. 36, figs. 1-13.
- 1985 *Orbitolina (Mesorbitolina) minuta* Douglass; Moullade et al., pl. 1, fig. 8.
- 1987 *Orbitolina (Mesorbitolina) texana* (Roemer); Simmons & Hart, pl. 10.2, fig. 4.
- 1988 *Orbitolina (Mesorbitolina) texana* (Roemer); Kuss & Schlagintweit, pl. 20, fig. 4.
- 1988 *Orbitolina (Mesorbitolina) texana* (Roemer); Sartorio & Venturini, p. 103, fig. 3.
- 1990 *Orbitolina (Mesorbitolina) texana* (Roemer); Schlagintweit, p. 264, fig. 3b.
- 1994 *Orbitolina (Mesorbitolina) texana* (Roemer); Witt & Gokdag, pl. 10.1, figs. 7, 9.
- 2000 *Orbitolina (Mesorbitolina) texana* (Roemer); Husinec et al., p. 164, figs. 8.2 - 8.4.
- 2000 *Mesorbitolina texana* (Roemer); Simmons et al., pl. 1, fig. 1; pl. 3, figs. 10-12; pl. 4, fig. 10.
- 2001 *Orbitolina (Mesorbitolina) texana* (Roemer); Castro et al., p. 152, fig. 5.I

figs. 16, 18; pl. 10, figs. 11, 12; pl. 12, figs. 4, 9.

1975 *Orbitolina (Mesorbitolina) parva* Douglass; Moullade & Saint-Marc, pl. 12, figs. 10-11.

1978 *Orbitolina (Mesorbitolina) parva* Douglass; Cherchi et al., pl. 1, fig. 7.

1985 *Orbitolina (Mesorbitolina) parva* Douglass; Moullade et al., pl. 1, fig. 6.

1988 *Orbitolina (Mesorbitolina) parva* Douglass; Sartorio & Venturini, P. 103, fig. 2.

1993 *Mesorbitolina parva* Douglass; Luperto Sinni & Masse, Tav. 27, fig. 7.

1994 *Orbitolina (Mesorbitolina) parva* Douglass; Witt & Gokdag, pl. 10.1, figs. 8, 10.

2000 *Orbitolina (Mesorbitolina) parva* Douglass; Husinec et al., P. 164, fig. 8.1.

2006 *Orbitolina (Mesorbitolina) parva* Douglass; Husinec & Sokac, P. 13, figs. 10A-F.

2006 *Orbitolina (Mesorbitolina) parva* Douglass; Iba & Sano, P. 219, figs. 2.1 - 2.2.

### ویژگی‌های خارجی

پوسته کوچک و بیشتر به صورت مخروط کوتاه دیده می‌شود. قاعده محدب تا مقرر است. در نمونه‌های مگالوسفریک ارتفاع نمونه ۰/۷۹۵ میلی‌متر و قطر پوسته ۰/۲۳۰ میلی‌متر است. دستگاه جنبی در رأس گرد شده (Rounded) (راحت است. زاویه‌ای که از امتداد دو ضلع مخروط به وجود می‌آید ۱۴۵°-۱۰۵° اندازه گیری شده است.

### ویژگی‌های داخلی دستگاه جنبی

در این گونه دستگاه جنبی در رأس صدف واقع شده است و طرح کلی آن در بر ش محوری مریع یا تقریباً مستطیلی شکل است (pl. 1, figs. 3-6) (pl. 1, figs. 1-6). دوتروکونک و ناحیه ساب آمبریونیک سبیرای تقریباً یکسانی دارند و یا دوتروکونک کمی سبیرتر از ساب آمبریونیک است.

دوتروکونک توسط چهار تا هفت دیواره عمودی تقسیم شده است. ناحیه ساب آمبریونیک نزی به طور معمول توسط دوتروکونک و ساب آمبریونیک دربرگرفته شده است. در بر ش محوری، در بیشتر موارد پروتوکونک تخم مرغی یا کم و بیش دایره‌ای شکل است، در محل اتصال دوتروکونک و ساب آمبریونیک، پروتوکونک کمی پهن تر شده و دوباره در بالا حالت محدب می‌گیرد (pl. 1, figs. 3-6)، این حالت تخم مرغی پروتوکونک می‌تواند یکی از نشانه‌های تشخیص این گونه از *O. (M.) texana* باشد. در این موارد به نظر می‌رسد پهن شدگی پروتوکونک در محل اتصال دوتروکونک و ناحیه ساب آمبریونیک باعث می‌شود تمايل انتهای ساب آمبریونیک در دو طرف پروتوکونک به سمت بیرون باشد، به عبارت دیگر دو انتهای ساب آمبریونیک حالت برگ مانند پیدا می‌کنند (pl. 1, figs. 3-6). در بر ش افقی پروتوکونک دایره‌ای شکل است و زمانی که این بر ش مربوط به بالاترین بخش ساب آمبریونیک باشد، تقسیمات ناحیه ساب آمبریونیک به صورت پنج تا شش حجره تقریباً بیضی شکل اطراف پروتوکونک دیده می‌شود (pl. 1, fig. 7)، که از این نظر بسیار شبیه به بر ش افقی *Orbitolina (Mesorbitolina) lotzei* است، اما اندازه ساختار آن به طور کامل متفاوت و بزرگتر است (شکل ۴). در این حجرات بیضی شکل، فاصله بین دو بخش به طور متوسط ۰/۰۶۳ میلی‌متر و ارتفاع آن ۰/۰۴۳ میلی‌متر اندازه گیری شده است. اندازه دستگاه جنبی در نمونه و قطر پروتوکونک در ۱۶ نمونه اندازه گیری شده بر حسب میلی‌متر در جدول ۲ آمده است.

### انتشار چینه‌شناختی

اوین بار توسط Douglass (1960) از رسوبات نیو مکریکو

آلین زیرین یمن (1988) از رسوبات آپتین پسین سازند شعیا (Shuaiba) و آلین سازند Nahr umr در عمان (Witt & Gokdag, 1994) از رسوبات آلین زیرین کرواسی (Husinec et al., 2000; Husinec & Sokac, 2006) و همچنین از رسوبات آپتین پسین تا آلین حوضه آدریاتیک (Velic, 2007) گزارش شده است. Simmons et al. (2000) در بازنگری که بر مجموعه جمع آوری شده هنسون داشته‌اند *O. texana* را از رسوبات آپتین ایران، لبان و سوریه معرفی می‌نمایند. این گونه با عنوان *Orbitolina conoidea* Gras (M.) در رسوبات آپتین ایران، جنوب اصفهان (Seyed - Emami et al., 1971) ثبت شده است.

#### **Orbitolina (Mesorbitolina) subconcava (Leymerie, 1878)**

(Pl. 2, Figs. 5-6)

- 1957 *Orbitolina discoidea* Gras; Sahni & Sastri in Ellis & Messina, fig. 15.  
 1960 *Orbitolina minuta* Douglass; Douglass, pl. 7, fig. 25.  
 1985 *Orbitolina (Mesorbitolina) subconcava* Leymerie; Schroeder in Schroeder & Neumann, pl. 37, figs. 1-8.  
 1987 *Orbitolina (Mesorbitolina) subconcava* Leymerie; Simmons & Hart, pl. 10.2, fig. 2.  
 1988 *Orbitolina (Mesorbitolina) subconcava* Leymerie; Kuss & Schlagintweit, pl. 20, figs. 5, 6.  
 1990 *Orbitolina (Mesorbitolina) subconcava* Leymerie; Schlagintweit, p. 264, fig. 3a.  
 1992 *Orbitolina discoidea* Gras ;Kalantari, p. 343, pl. 79, p. 342, text-fig. 163, 1-2.  
 2000 *Mesorbitolina subconcava* Leymerie; Simmons et al., pl. 2, fig. 6, pl. 4, figs. 2-3.  
 2000 *Orbitolina (Mesorbitolina) subconcava* Leymerie; Husinec et al., p. 164, fig. 8.6.  
 2005 *Orbitolina (Mesorbitolina) subconcava* Leymerie; Krobicki.& Olszewska, p. 229, fig. 7C.

#### - ویژگی‌های خارجی

پوسته به صورت مخروط کوتاه تا دیسکی با قاعده مسطح تا محدب دیده می‌شود. حجره جنینی در رأس واقع شده است. قطر نمونه  $1/2-1/4$  میلی متر و ارتفاع آن  $0.4-0.44$  میلی متر است. زاویه‌ای که از امتداد دو ضلع مخروط به وجود می‌آید  $160^{\circ}$  -  $125^{\circ}$  اندازه گیری شده است.

**- ویژگی‌های داخلی دستگاه جنینی:** دستگاه جنینی (*M. (O. texana) subconcava*) شبیه به *Orbitolina (M.) texana* است، اما اندازه آن بزرگ‌تر است. حجره جنینی در رأس واقع شده و بیشترین اندازه آن در دو نمونه مطالعه شده  $0.3-0.36$  میلی متر است. سبرای دوتروکونک و ساب آمبریونیک کم و بیش یکسان است. دوتروکونک توسعه  $11-15$  دیواره عمودی که به صورت ریضی و منظم قرار گرفته‌اند، تقسیم شده است. ساب آمبریونیک توسعه پنج تا هفت دیواره فاصله‌دار تقسیم شده است. دیواره‌ها در مرکز ساب آمبریونیک به صورت کوتاه و خطی دیده می‌شوند و در نزدیک دو انتهای ساب آمبریونیک بلند و خمیده می‌شوند. (pl. 2, fig. 5). بیشترین قطر داخلی پروتوکونک  $0.19-0.2$  میلی متر است. بخش بالای پروتوکونک کمی محدب است و از دو طرف لبه‌دار شده است. تنها این بخش لبه‌دار است که درون دوتروکونک قرار می‌گیرد و بخش پایین آن به شدت مقعر است (pl. 2, figs. 5-6).

2006 *Orbitolina (Mesorbitolina) texana* (Roemer); Husinec & Sokac, p. 13, fig. 10. G.

#### - ویژگی‌های خارجی

پوسته کوچک و بیشتر به صورت مخروط کوتاه دیده می‌شود. قاعده نمونه مسطح، محدب و مقعر است. قطر نمونه  $2/5-2/8$  میلی متر و ارتفاع آن  $1-21$  میلی متر است. حجره جنینی در رأس گرد شده (Rounded) (قرار می‌گیرد و زاویه‌ای که از امتداد دو ضلع مخروط به وجود می‌آید  $115^{\circ}-165^{\circ}$  محاسبه شده است. به طور کلی چشم‌های کلسیتی (calcite eyes) بیشتر در نمونه‌های میکروسفریک وجود دارد، اما در بعضی از فرم‌های مگالوسفریک این گونه، به تعداد کم دیده شده است (pl. 1, fig. 11a).

#### - ویژگی‌های داخلی دستگاه جنینی

دستگاه جنینی در رأس واقع شده، در برش محوری طرح کلی آن مریع تا کم و بیش مستطیلی شکل است (Pl. 1, Figs. 8-11; pl. 2, Figs. 3-4) و اندازه آن  $0.21-0.27$  میلی متر است. دستگاه جنینی شامل پروتوکونک، دوتروکونک و ناحیه ساب آمبریونیک است. دوتروکونک و ساب آمبریونیک توسط دیواره‌های عمودی تقسیم شده‌اند. تعداد تقسیمات ناحیه ساب آمبریونیک چهار تا شش عدد و دوتروکونک شش تا هشت عدد است. به طور کلی سبرای ساب آمبریونیک یا با دوتروکونک برابر است و یا کمی از آن کوچک‌تر است.

شکل خاص دستگاه جنینی (*M. (O. texana) parva*) به شکل تقریباً دایروی است (pl. 1, figs. 8-11). در این شباخت دارد، اما اندازه آن بزرگ‌تر است. پروتوکونک با قطر  $0.1-0.12$  میلی متر توسط دوتروکونک و ناحیه ساب آمبریونیک احاطه شده است. در برش محوری پروتوکونک *O. (M.) texana* به شکل تقریباً دایروی است (pl. 1, figs. 8-11). در این برش به نظر می‌رسد پروتوکونک با قطر  $0.1-0.12$  میلی متر توسط دوتروکونک و ناحیه ساب آمبریونیک پهن شده دارد یعنی عرض آن از ارتفاعش بیشتر است (fig. 9) (pl. 1, fig. 9) و گاهی موقع نیز عکس این حالت دیده می‌شود یعنی عرض آن از ارتفاعش کمتر است (pl. 2, figs. 3, 4) اما در این مورد کاملاً از *O. (M.) parva* قابل تشخیص است. در اینجا پروتوکونک با حالت استوانه‌ای به سمت بالا رشد کرده ولی ناگهان منقطع (truncate) می‌شود (مقایسه کنید 4 pl. 1, figs. 3-6 pl. 2, figs. 3, 4) در مواردی که بخش بالای پروتوکونک محدود می‌شود، تحدب بخش بالا بسیار کمتر از بخش پایین است (pl. 1, fig. 10).

در برش افقی مربوط به بالاترین بخش ناحیه ساب آمبریونیک، تقسیمات ساب آمبریونیک به صورت هشت حجره گلبرگی شکل اطراف پروتوکونک دیده می‌شود (pl. 2, fig. 2). در این حجرات گلبرگی، فاصله بین دو دیواره عمودی (طول حجره) به طور متوسط  $0.07$  میلی متر و ارتفاع آن تقریباً  $0.09$  میلی متر است. به عبارت دیگر طول هر حجره از ارتفاع آن کمتر است.

*O. (M.) texana* مهم ترین تفاوت Schroeder(in Schroeder & Neumann, 1985) و *O. (M.) parva* را در همین برش افقی می‌داند که در *O. (M.) texana* دیواره عمودی مجاور (طول هر حجره) کمتر از فاصله پروتوکونک با اولین حجره بعد از حجره جنینی (ارتفاع حجره) است، در حالی که در *O. (M.) parva* عکس این مطلب صادق است (شکل ۵). اندازه دستگاه جنینی در  $23-26$  نمونه و قطر پروتوکونک در  $19$  نمونه اندازه گیری شده بر حسب میلی متر در جدول ۳ آمده است.

#### - انتشار چینه‌شناسی

این گونه نخستین بار توسط Roemer (1849) معرفی شد. این گونه از رسوبات آهکی آپتین پسین تا آلین میانی تگراس گزارش شده است (Schroeder, in Schroeder & Neumann 1985)، همچنین این گونه از رسوبات آپتین پسین - آلین زیرین مصر (Kuss and Schlagintweit, 1988) از رسوبات

### دیوارهای عمودی تقسیم کننده ناحیه جنینی نیز نازک‌تر است. – انتشار چینه‌شناسی

Douglass (1960) از *Orbitolina (Mesorbitolina) pervia* نخستین بار توسط (1878) Leymerie معرفی شد، اما هیچ نمونه‌ای از آن در مجموعه نمونه‌های لیمری یافت نشد. نئوتیپ (Neotype) آن که بر شرودر شرح داده شد (& Schroeder, in Scroeder 1985, pl. 37, figs. 2-3). شروع در سن این گونه را بالاترین بخش آپتین تا آلبین پسین (latest Aptian-late Albian) (Pışnehmenad می‌کند. این گونه از رسوبات آلبین زیرین (Husinec et al., 2000) همچنین از رسوبات آپتین پسین (Krobicki & Olszewska, 2005) و از رسوبات آلبین زیرین (Velic, 2007) حوضه کارپاسین (Gorog and Arnaud-Vannieuw, 1996) نیز گزارش شده است.

Simmons et al. (2000) در بازنگری که بر مجموعه نمونه‌های هنسون داشته‌اند، برای اولین بار این گونه را از منطقه خاور میانه از Hana و Qashqai sarhad (Qashqai sarhad ایران و از عراق گزارش نموده‌اند و سن این گونه را با احتمال به آلبین نسبت داده‌اند به طوری که اولین حضور این گونه در مرز آپتین و آلبین باعلامت سوال همراه بود. همچنین این گونه از رسوبات آلبین زیرین حوضه آدریاتیک نیز گزارش شده است (Velic, 2007).

### ۶- زیست‌چینه‌نگاری

در آهک‌های بخش بالایی سازند داریان در برش دشک پنج گونه متعلق به زیر جنس *Mazariyitolina* شناسایی شدند که محدوده گسترش آنها در شکل ۶ نمایش داده شده است. گونه (M.) *lotzei* (early Aptian) بیشتر از رسوبات بخش بالایی آپتین پیشین (Witt and Gokdag, 1994; Simmons et al., 2000) گزارش شده است (Aptian). گزارش شده است (Bachmann and Hirsch, 2006; Velic, 2007) *Schroeder* (1975). همچنین (earliest late Aptian) (earliest late Aptian) (Velic, 1988, 2007) (Husinec et al., 2000) و آپتین پسین – آلبین پیشین (Velic, 1988, 2007) (Bachmann and Hirsch, 2006; Iba & Sano, 2006) گونه (M.) *parva* (Velic, 1988, 2007) (Bachmann and Hirsch, 2006; Iba & Sano, 2006) در محدوده‌های زمانی آپتین پسین (Witt & Gokdag, 1994) گزارش شده است.

لازم به یادآوری است در جدیدترین تحقیقاتی که با عنوان پژوهه IFP در مدیریت اکتشاف شرکت ملی نفت ایران صورت گرفته است (Luc Bulot 2006) آمونیت‌های بخش میانی سازند داریان و تیز قاعده سازند کثمدی در برش‌های صحرایی کوه فهیلان و کوه میش در ناحیه خوزستان را مورد مطالعه قرار داده و بر این اساس، سن آپتین پسین را برای بخش بالایی سازند داریان در برش‌های یاد شده ارائه داده است. از آن جا که ناحیه مورد مطالعه فاصله زیادی با ناحیه تعیین سن شده ندارد و همچنین هیچ فسیل شاخص آلبین در بخش مورد مطالعه دیده نشد، بنابراین می‌توان نتیجه گرفت که سن بخش بالایی سازند داریان در ناحیه مورد مطالعه نیز آپتین پسین است. با توجه به این مطالعه و گسترش زمانی (M.) *parva* (O.) سن این گونه در مطالعه حاضر آپتین پسین پیشنهاد می‌شود. گونه (M.) *parva* (O.) هرگز از آپتین پیشین گزارش نشده است و اولین پیدایش آن در آپتین پسین است. در بیشتر مقالات مربوط به منطقه مدیریانه و ناحیه خاور میانه (Velic, 1988; Witt & Gokdag, 1994; Bachmann and Hirsch, 2006) (Velic, 1988; Witt & Gokdag, 1994; Bachmann and Hirsch, 2006) حضور (M.) *parva* (O.) برای تعیین مرز آپتین پیشین و پسین استفاده شده که این نتیجه با آمونیت و دیگر فسیل‌های شاخص نیز بررسی شده است. از آن جا که ایران نیز بخشی از حوضه مدیرانه بوده، قابلیت همخوانی با این مناطق را دارد. در برش مورد مطالعه نیز با توجه به اولین حضور (M.) *parva* (O.) پس از گسترش زمانی (M.) *lotzei* (O.) می‌توان از ظهور این گونه برای تعیین مرز زمانی آپتین پیشین و پسین استفاده نمود (شکل ۶). (sample JR 3664 early/late Aptian)

### – انتشار چینه‌شناسی

این گونه نخستین بار توسط (1878) Leymerie معرفی شد، اما هیچ نمونه‌ای از آن در مجموعه نمونه‌های لیمری یافت نشد. نئوتیپ (Neotype) آن که بر شرودر شرح داده شد (& Schroeder, in Scroeder 1985, pl. 37, figs. 2-3). شروع در سن این گونه را بالاترین بخش آپتین تا آلبین پسین (latest Aptian-late Albian) (Pışnehmenad می‌کند. این گونه از رسوبات آلبین زیرین (Husinec et al., 2000) همچنین از رسوبات بالاترین حد آپتین پسین – آلبین حوضه کارپاسین (Krobicki & Olszewska, 2005) و از رسوبات آلبین زیرین (Velic, 2007) حوضه آدریاتیک (Velic, 2007) گزارش شده است. Simmons et al. (2000) در بازنگری که بر مجموعه نمونه‌های هنسون داشته‌اند، این گونه را از Hana و Qashqai sarhad (Qashqai sarhad ایران) پیشنهاد می‌نمایند. همچنین از رسوبات بالاترین حد آپتین پسین – آلبین حوضه کارپاسین (Orbitolina minuta) (Doughlass, 1960) و با عنوان *Orbitolina discoidea* (Doughlass, 1960) از رسوبات آلبین تگراس (Doughlass, 1960) از رسوبات آپتین ایران، سازند داریان گزارش شده است (Kalantari, 1992).

#### *Orbitolina (Mesorbitolina) sp. cf. M. pervia (Douglass, 1960)*

(Pl. 2, Figs. 7-11)

1960 *Orbitolina morelensis*, Ayala-castanares; Ayala-castanares in Ellis & Messina, fig. 26.

1960 *Orbitolina pervia* Douglass; Douglass, pl. 11, figs. 13, 15.

1960 *Orbitolina texana* Douglass; Douglass, pl. 6, figs. 1, 3-6.

1996 *Orbitolina (Mesorbitolina) pervia* Douglass; Görög & Arnaud-vanneau, pl. 1, figs. 1-8.

2000 *Mesorbitolina pervia* Douglass; Simmons et al., pl. 4, fig. 4.

2000 *Orbitolina (Mesorbitolina) pervia* Douglass; Husinec et al., fig. 8. 5.

### – ویژگی‌های خارجی

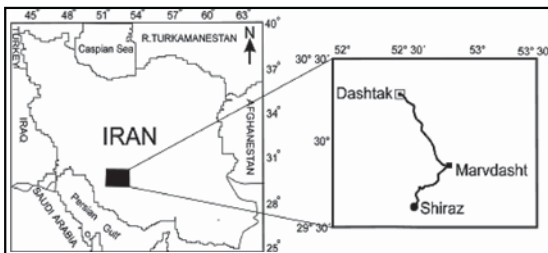
پوسته به صورت مخروط کوتاه با قاعده مسطوح، محدب و مقعر دیده می‌شود (Figs. 7-9) (Fig. 9 قطر نمونه ۰/۹-۲ میلی متر و ارتفاع آن ۰/۲۳-۰/۵ میلی متر است. دستگاه جنینی در رأس گردشده (Rounded) تا مسطوح (flat) واقع است. زاویه‌ای که از امتداد دو ضلع مخروط به وجود می‌آید ۱۵۸°-۱۲۰° محسوبه شده است.

### – ویژگی‌های داخلی دستگاه جنینی

دستگاه جنینی در رأس واقع شده و طرح کلی آن در برش محوری به شکل ذوزنقه واژگون است (Pl. 2, figs. 7-11). مهم‌ترین ویژگی این گونه پروتونکونک مسطوح - محدب آن با قاعده مسطوح در برش محوری است. بخش مسطوح می‌تواند به طور کامل مستقیم باشد (pl. 2, fig. 10)، یافروافتادگی کوچکی (depression) در بخش مرکزی آن وجود داشته باشد (pl. 2, figs. 8-9) و یا کمی تحدب داشته باشد (11) (pl. 2, figs. 7, 11). در برش افقی از دستگاه جنینی، پروتونکونک به شکل دائرة دیده می‌شود. قطر پروتونکونک ۰/۲۳-۰/۱۳ میلی متر است. ناحیه ساب ابریونیک که تا حدی دوتروکونک را در بر می‌گیرد، توسط شش تا هشت دیواره تقسیم شده است. بعضی از این دیواره‌ها در انتهای دو شاخه شده و تشکیل یک شبکه را می‌دهند (pl. 2, figs. 7-9). قطر دوتروکونک ۰/۶۷-۰/۴۳ میلی متر است، این ناحیه شامل ۱۲-۱۹ دیواره عمودی است که در اندازه‌های کم و بیش یکسان به صورت ردیفی و منظم قرار گرفته‌اند.

Doustgah جنینی نمونه‌هایی که در این مطالعه به عنوان *O. (M.) sp. cf. M. pervia* Douglass (1960) معرفی می‌شوند به نمونه‌هایی که در این مطالعه به عنوان *M. pervia* از آهک‌های Glen rose تگراس گزارش کرده است، بسیار شبیه هستند اما دستگاه جنینی نمونه‌های مورد مطالعه دارای اندازه بزرگ‌تر است و دیواره دستگاه جنینی و

Joseph Fourie) فرانسه که در شناسایی گونه‌های اریتولین و در تهیه مقالات متعدد مارا یاری نموده سپاسگزاری و قدردانی می‌شود. همچنین از مدیریت محترم اکتشاف، شرکت ملی نفت ایران و از دانشگاه تهران به خاطر حمایت‌های ایشان تشکر می‌شود.



شکل ۱- موقعیت جغرافیایی ناحیه مورد مطالعه

جدول ۱- اندازه پروتوکونک و دستگاه جنینی در *Orbitolina (Mesorbitolina) lotzei*

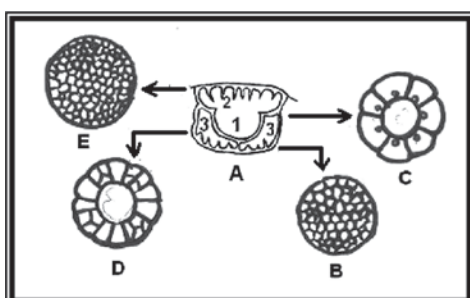
	Minimum	Mean	Maximum
اندازه دستگاه جنینی	.۰/۱۱	.۰/۱۲	.۰/۱۴
قطر پروتوکونک	.۰/۰۵۱	.۰/۰۵۹	.۰/۰۶۴

جدول ۲- اندازه حداقل، حداکثر و مقدار متوسط دستگاه جنینی و پروتوکونک در *O. (M.) parva*

	Minimum	Mean	Maximum
اندازه دستگاه جنینی	.۰/۱۴	.۰/۱۷۸	.۰/۲۱
قطر پروتوکونک	.۰/۰۷	.۰/۰۸	.۰/۰۹

جدول ۳- اندازه حداقل، حداکثر و مقدار متوسط دستگاه جنینی و پروتوکونک در گونه *O. (M.) texana*

	Minimum	Mean	Maximum
اندازه دستگاه جنینی	.۰/۲۱	.۰/۲۴	.۰/۲۷
قطر پروتوکونک	.۰/۱	.۰/۱۱	.۰/۱۲



شکل ۲- دستگاه جنینی یک نمونه مگالوسفریک در برش‌های مختلف (Schroeder, 1975) با اندکی تغییر. (A) برش محوری دستگاه جنینی شامل پروتوکونک(۱)، دوتروکونک(۲) و ناحیه ساب آمریونیک(۳). (B) برش افقی (Horizontal). (C) برش افقی از بالاترین قسمت ناحیه ساب آمریونیک (ایلهای آلوئولار ساب آمریونیک). (D) برش افقی از بالاترین قسمت ناحیه ساب آمریونیک. (E) برش افقی مربوط به بالاترین قسمت دوتروکونک.

Schroeder, 1975 در محدوده زمانی آپتین پسین تا آلبین (Schroeder & Neumann, 1985; Kuss & Schlagintweit, 1988; Witt & Gokdag, 1994; Husinec et al., 2000) گزارش شده است. با توجه به گسترش زمانی *O. (M.) texana* و همچنین آلبین پسین (Velic, 2007) (IPF Project, 2006) سن این گونه در سازند داریان آپتین حد آپتین پسین نیز در محدوده‌های زمانی بالاترین حد آپتین پسین می‌شود. تا آلبین پسین (*O. (M.) subconcava* Simmons et al., 2000; Schroeder & Neumann, 1985;) و آلبین پسین (Krobicki & Olszewska, 2005; Bachmann & Hirsch, 2006) و آلبین پسین (Husinec et al., 2000; Velic, 2007) گزارش شده است.

با توجه به تحقیقات انجام شده (IPF Project, 2006) و گسترش زمانی *O. (M.) subconcava* به احتمال، در ناحیه مورد مطالعه سن این گونه در سازند داریان از آپتین پسین جوان‌تر نیست. گونه *O. (M.) pervia* از محدوده‌های زمانی آپتین پسین تا آلبین (Douglass, 1960; Hofker, 1963; Arnaud et al., 2000) و آلبین (Gorog & Arnaud Vanneau, 1996; Simmons et al., 2000; Velic, 2007) گزارش شده است.

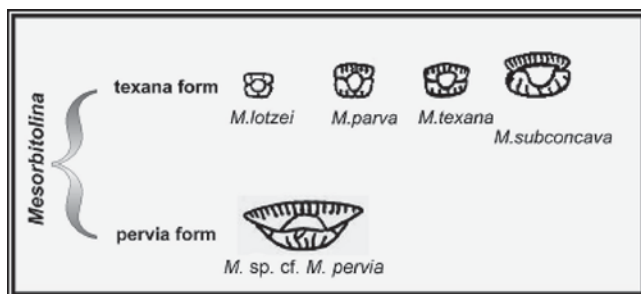
در منطقه خاورمیانه در مورد سن *O. (M.) sp. cf. M. pervia* منبع خاصی در دسترس نیست. تنها مرجع مورد استفاده بررسی‌های Simmons et al. (2000) است که اولین پیدایش *O. (M.) pervia* را با علامت سوال در مرز آپتین و آلبین می‌دانند. خوبشخانه همان طور که بیان شد بررسی‌های جدیدی بر اساس آموخته‌ها در ایران صورت گرفته که در آن بخش بالایی سازند داریان به طور دقیق تعیین سن شده و آپتین پسین گزارش شده است (IPF Project, 2006). این مطلب کمک زیادی در تعیین سن *O. (M.) sp. cf. M. pervia* در سازند داریان و در ناحیه مورد مطالعه از نمود که سن *O. (M.) sp. cf. M. pervia* در سازند داریان و آلبین قرار دارد. آپتین پسین جوان‌تر نیست و اولین پیدایش آن پایین تر از مرز آپتین و آلبین قرار دارد. در مجموع با توجه به گسترش چینه‌شناسی و محدوده سنی اریتولین‌ها و مطابقت با تعیین سن بر اساس آموخته‌ها، سن قسمت بالایی سازند داریان در ناحیه مورد مطالعه از بخش بالایی آپتین پسین (late early Aptian) با حضور *O. (M.) lotzei* شروع شده و تا انتهای آپتین (late Aptian) ادامه می‌یابد (شکل ۶). همچنین سن بخش میانی و زیرین سازند داریان با توجه به موقعیت چینه‌شناسی لایه‌ها و حضور فسیل شاخص *Choffatella decipiens* آپتین پسین (early Aptian) در نظر گرفته می‌شود.

## ۷- نتیجه‌گیری

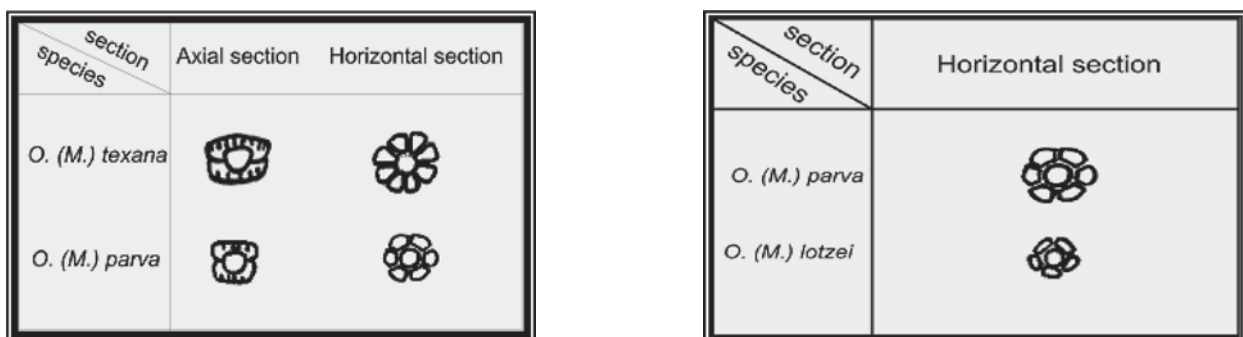
با توجه به ویژگی‌های حجره جنینی، ۵ گونه متعلق به زیر جنس مزاریتولینا در بخش بالایی سازند داریان شناسایی شدند که عبارتند از: *Orbitolina (Mesorbitolina) lotzei*, *Orbitolina (M.) parva*, *Orbitolina (M.) texana*, *Orbitolina (M.) subconcava*, *Orbitolina (M.) sp. cf. M. pervia*. این گونه‌ها بر اساس شکل پروتوکونک، شکل ناحیه ساب آمریونیک، اندازه دستگاه جنینی و پروتوکونک و تعداد تقسیمات ناحیه ساب آمریونیک و دوتروکونک شناسایی و از یکدیگر تمایز شدند. در این مطالعه سن بخش زیرین و میانی سازند داریان آپتین پسین و سن بخش بالایی سازند داریان انتهای آپتین پسین تا آپتین پسین (late early Aptian- late Aptian) پیشنهاد می‌شود. در این مطالعه مرز آپتین پسین (early/late Aptian) بر اساس پیدایش *O. (M.) parva* مشخص می‌شود.

## سپاسگزاری

از خانم دکتر آنی آرناد و نوآ (Anni Arnaud-Vanneau) استاد دانشگاه ژوزف فوریه

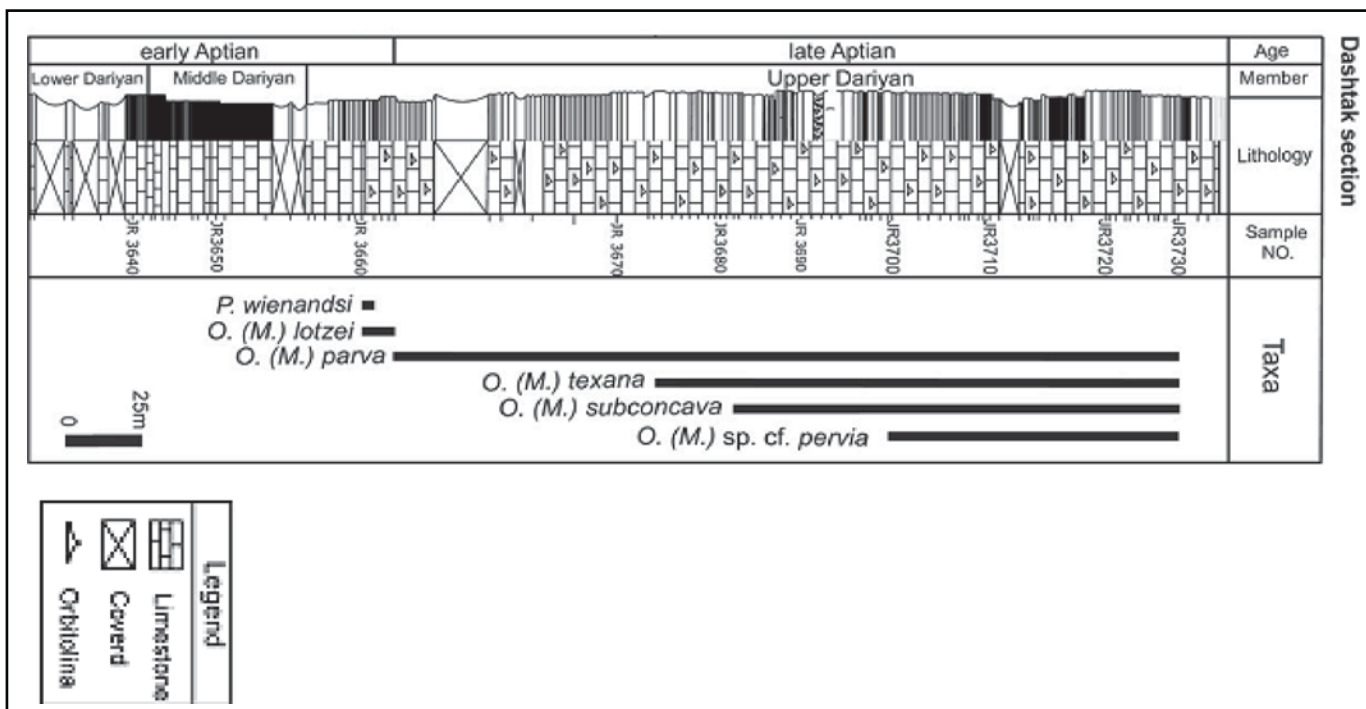


شکل ۳- تقسیم بندی گونه های زیر جنس *Mesorbitolina* در سازند داریان، برش دشتک



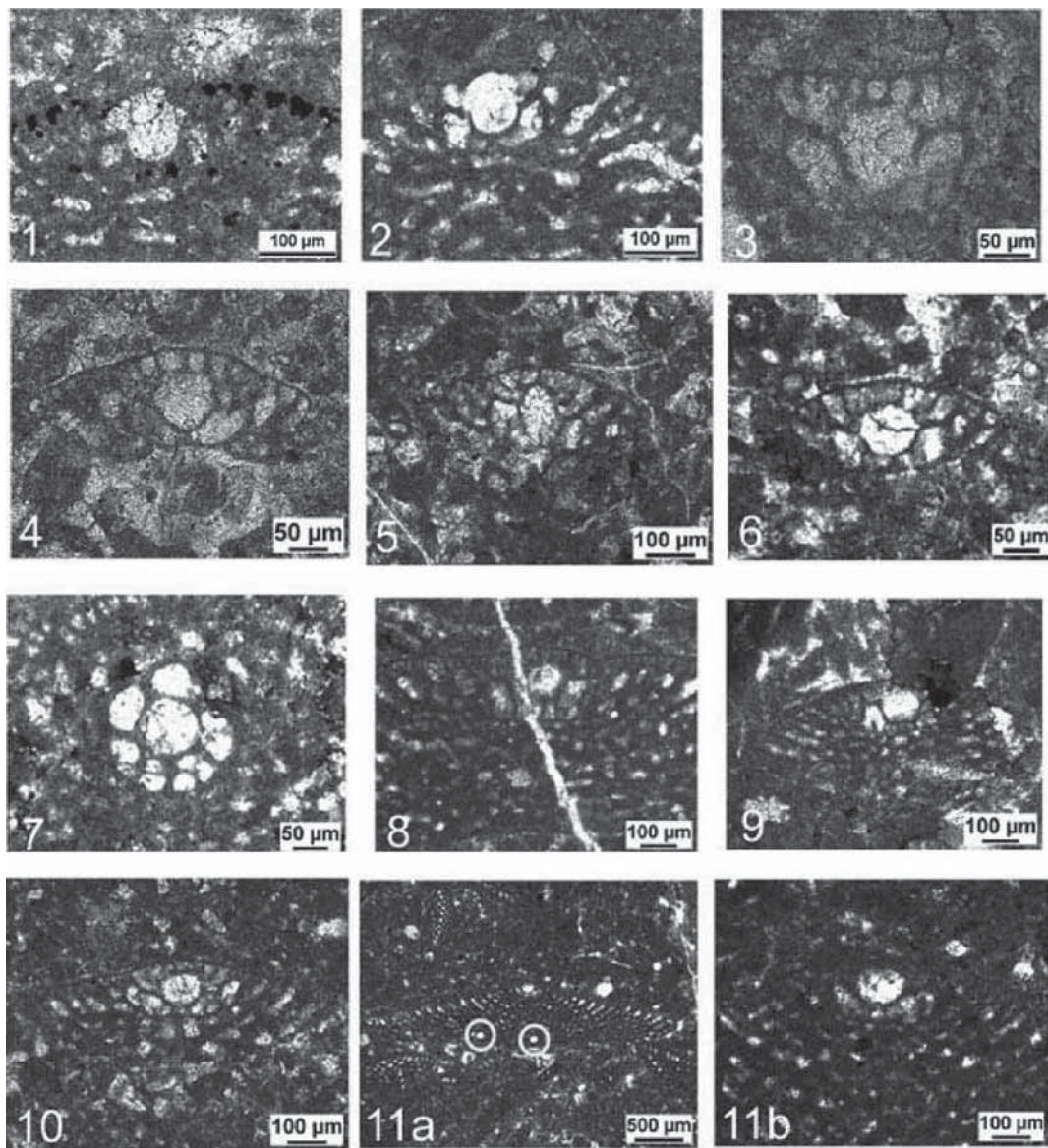
شكل ۵- برش محوری و برش افقی از بالاترین قسمت ناحیه ساب آمبریونیک در *.Orbitolina (M.) parva* و *Orbitolina (M.) texana*

شكل ٤- برش افقی مربوط به بالاترین قسمت ساب آمیریونیک و *Orbitolina (M.) lotzei*



شکل ۶- ستون چینه شناسی و گسترش گونه‌های اریتولین در سازند داریان، برش دشتک

## Plate 1



### 1- *praeorbitolina wienandsi* Schroeder, 1964

Axial section through a megalospheric form. Sample JR 3661.

### 2- *Orbitolina (Mesorbitolina) lotzei* Schroeder, 1964

Axial section through a megalospheric form. Diameter of protoconch is 0.062 mm and embryonic apparatus, 0.13 mm Sample JR 3661.

### 3-7. *Orbitolina (Mesorbitolina) parva* (Douglass, 1960)

3- Axial section through embryonic apparatus. Diameter of protoconch is 0.085 mm and embryonic apparatus, 0.21 mm Sample JR 3692.

4- Axial section through a megalospheric form. Diameter of protoconch is 0.075 mm and embryonic apparatus, 0.187 mm Sample JR 3720.

5- Axial section through a megalospheric form. Diameter of protoconch is 0.08 mm and embryonic apparatus, 0.21 mm Sample JR 3722

6- Axial section through a megalospheric form. Diameter of protoconch is 0.085 mm and embryonic apparatus, 0.2 mm Sample JR 3720.

7- Horizontal section through a megalospheric embryo showing the protoconch, surrounded by subembryonic zone. Sample JR 3664.

### 8-11. *Orbitolina (Mesorbitolina) texana* (Roemer, 1849)

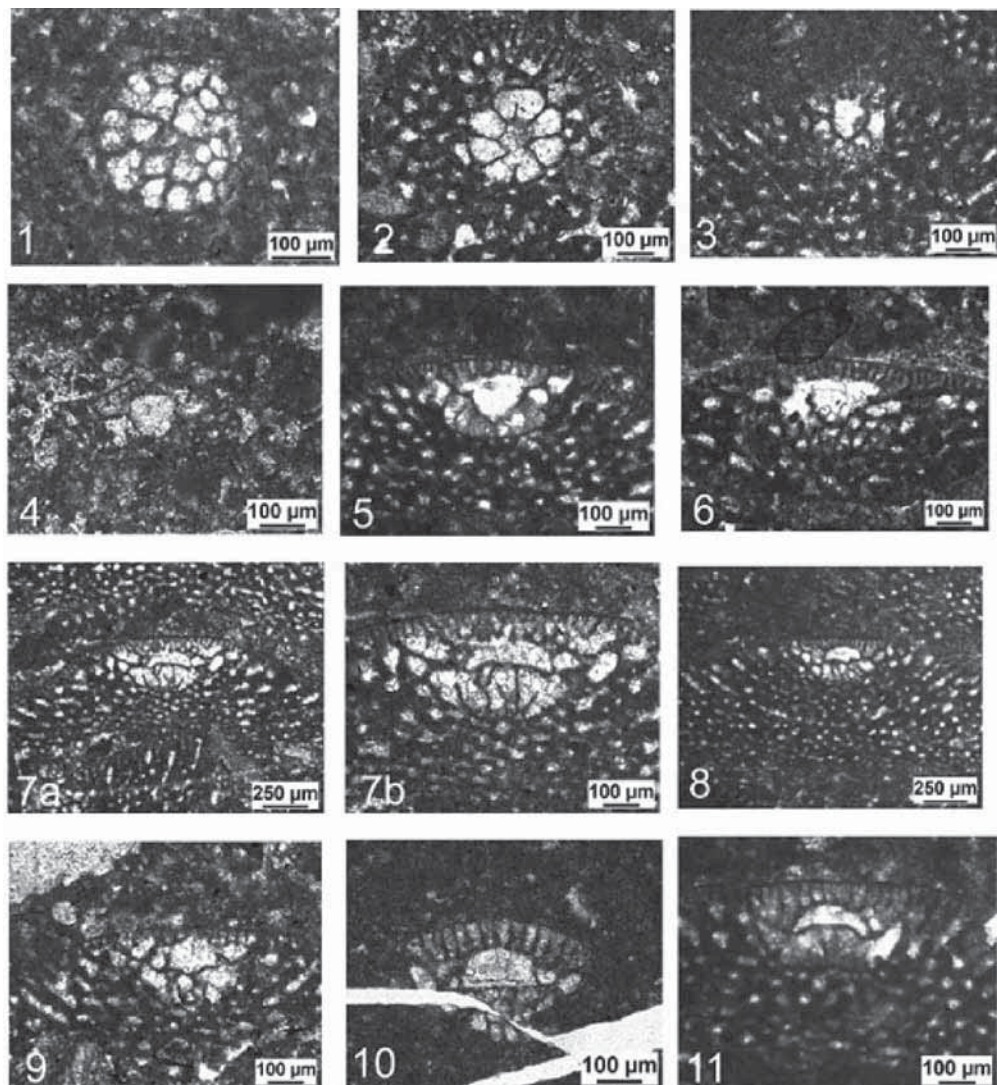
8- Axial section through a megalospheric form. Embryonic apparatus is semi rectangular with protoconch, subdivided deutoerconch and subembryonic area of approximately equal thickness. Diameter of embryonic apparatus is 0.25 mm Sample JR 3675.

9- Axial section through a megalospheric form. Embryonic apparatus is very distinctive-square with protoconch, subdivided deutoerconch and subembryonic area of approximately equal thickness. Diameter of protoconch is 0.1 mm and embryonic apparatus, 0.21 mm. Sample JR 3672.

10- Axial section through a megalospheric form. Diameter of protoconch is 0.1 mm and embryonic apparatus, 0.25 mm Sample JR 3719.

11- Axial section through a megalospheric form. Diameter of protoconch is 0.12 mm and embryonic apparatus, 0.26 mm Sample JR 3689. 11a) General view, calcite eyes are seen in this specimen; 11b) Details of the embryonic apparatus.

## Plate 2

1-4. *Orbitolina (Mesorbitolina) texana* (Roemer, 1849)

1- Horizontal section through a megalospheric embryo, cutting lower part of the subembryonic zone Sample JR 3673.

2-Horizontal section through a megalospheric embryo, showing the protoconch surrounded by subembryonic zone. The regular partitions of the subembryonic zone are visible Sample JR 3701.

3-Axial section through a megalospheric form. Diameter of protoconch is 0.1 mm and embryonic apparatus, 0.21 mm Sample JR 3680.

4-Axial section through a megalospheric form. Diameter of protoconch is 0.1 mm and embryonic apparatus, 0.27 mm Sample JR 3721

5-6. *Orbitolina (Mesorbitolina) subconcava* (Leymerie, 1878)

5-Axial section through a megalospheric form. Diameter of protoconch is 0.19 mm, and embryonic apparatus approximately, 0.3 mm. Sample JR 3682.

6-Axial section through a embryonic apparatus. Diameter of protoconch is 0.21 mm and embryonic apparatus approximately, 0.357 mm Sample JR 3690. .

7-11. *Orbitolina (Mesorbitolina) sp. cf. M. pervia* (Douglass, 1960).

7-Axial section of the megalospheric form. embryonic apparatus is 0.67 mm and protoconch, 0.23 mm in diameter. 7a) General view; 7b) Details of the embryonic apparatus Sample JR 3699.

8-Axial section of the megalospheric form. showing a small depression in connection with the center of the reticulum of the subembryonal chamber, embryonic apparatus is 0.46 mm Sample JR 3699.

9-Axial section of the embryonic apparatus. showing a small depression in connection with the center of the reticulum of the subembryonal chamber, embryonic apparatus is 0.4 mm Sample JR 3701.

10-Axial section of the embryonic apparatus, showing details of the embryonic apparatus. Diameter of the protoconch is 0.16 mm and deutoconch, 0.43 mm. Sample JR 3730.

11-. Axial section of the embryonic apparatus, Diameter of the protoconch is 0.2 mm and deutoconch, 0.42 mm Sample JR 3699.

## References

- Arnaud, H., Arnaud-Vanneau, A., Bulot, L. G., Beck, C., Macsotay, O., Stephan, J. F. et Vivas, V., 2000- Le Crétacé inférieur du Venezuela oriental: stratigraphie séquentielle des carbonates sur la transversale Casanay-Maturin (États de Anzoátegui, Monagas et Sucre), *Geologie Alpine*, 76: 3-81.
- Bachmann, M. & Hirsch, F., 2006- Lower Cretaceous carbonate platform of the eastern Levant (Galilee and Golan Heights): stratigraphy and second – order sea – level change, *Cretaceous Research*, 27: 487-512.
- Castro, J. M., Company, M., de Gea, G. A. & Aguado, R., 2001- Biostratigraphy of the Aptian-Middle Cenomanian platform to basin domain in the Peribetic Zone of Alicante, SE Spain.: calibration between shallow water bentonic and pelagic, *Cretaceous Research*, 22: 145-156.
- Cherchi, A., De Castro, P. & Schroeder, R., 1978- Sull'eta dei livelli a Orbitolinidi della Campania e delle Murge Baresi (Italia meridionale), *Boll. Soc. Natur. Napoli*, 87: 1-24.
- Douglass, R. C., 1960- The foraminiferal genus Orbitolina in North America, *Professional Paper of the United States Geological Survey*, 333, 1-52.
- Ellis, B. & Messina, A., 1966- Catalogue of index foraminifera, *American Museum Natural History. Special publication*, vol. 2.
- Fourcade, E. & Raoult, J-F., 1973- Cretace du kef hahouner et position stratigraphique de Ovalveolina reicheli p.de castro (Serie septentrionale du mole neritique du constantinois, Algérie, *Revue de Micropaleontologie*, vol. 15, n 14, pp. 227-246.
- Görög, A. & Arnaud-Vanneau A., 1996- Lower Cretaceous Orbitolinas from Venezuela, *Micropaleontology*, vol. 42, no. 1, pp. 65-78
- Henson, F. R. S., 1948- Larger imperforate foraminifera of south-western Asia. *British Museum Natural History*, London, 127p.
- Hofker, J., 1963- Studies on the genus Orbitolina. (Foraminiferida), *Leidse Geologische Medelingen*, 29: 181-254.
- Husinec, A., velic, I., Fucek, L., vlavovic, I., Maticec, D., Ostric, N. & Korbar, T., 2000- Mid Cretaceous orbitolinid (Foraminiferida) record from the Islands of Cres and Losinj (Croatia) and it's regional stratigraphic correlation, *Cretaceous Research*, 21: 155-171.
- Husinec, A. & Sokac, B., 2006- Early Cretaceous benthic associations (foraminifera and calcareous algae) of a shallow tropical –water platform environment (Mljet Island, Southern Croatia), *Cretaceous Research*, 20: 1-24.
- Iba, Y. & Sano, S., 2006- Mesorbitolina (Cretaceous larger foraminifera) from the Yezo group in Hokkaido, Japan.and its stratigraphic and paleobiogeographic significance, *Proc. Jpn. Acad. ser. B82*, 8: 216-223
- Institute Francais du Petrole in co-operation with National Iranian Oil Company, 2006- Middle East Cretaceous sequence stratigraphic study. NIOC Geological Report no.2172
- James, G. A. & Wynd, J. G., 1965- Stratigraphic nomenclature of Iranian oil consortium agreement area. AAPG, vol. 49, No. 12.
- Kalantari, A., 1992- Lithostratigraphy and microfacies of Zagros orogenic area S.W .Iran. National Iranian Oil Company Exploration and Production. geological laboratories, No. 12.
- Krobicki, M. & Olszewska, B., 2005- Urgonian-type microfossils in exotic pebble of the Late Cretaceous and Palaeogene gravelstones from the Sromowce and Jarmuta formations (Pieniny Klippen Belt, Polish Carpathians), *Studia Geologica Polonica*, 124: 215-235.
- Leymerie, A., 1878- Description géologique et paléontologique des Pyrénées de la haute-Garonne. E. Privat edit., Toulouse, 2t., 1010p.
- Kuss, J. & Schlagintweit, F., 1988- Facies and stratigraphyof Early to Middle Cretaceous (late Aptian-early Cenomanian) strata from the northern Rim of the African Cratons (Gebel Maghara- Sinai, Agypten), *Facies*, 19: 77-96.
- Luperto Sinni, E. & Masse, J-P., 1993- Biostratigrafia dell' Aptiano in facies di piattaforma carbonatica delle murge baresi ( Puglia-Italia Meridionale), *Riv.It. Paleont. Strat.*, V. 98, N. 4, pp. 403-424.
- Mehrnsch, M., 1973- Eine Orbitoliniden-Fauna aus der Unterkreide von Esfahan (Zentral-Iran).: N. Jb, Geol. Paleont. Mh., v. Jg. 1973, H6, p. 374-382.
- Moullade, M., Peybernes, B., Rey, J. & Saint-Marc, P., 1985- Biostratigraphic interest and paleobiogeographic distribution of Early and Mid-Cretaceous Mesogean Orbitolinids (Foraminifera), *Jour. Foram. Res.*, 15: 149-158.
- Moullade, M., Peybernes, B. & Saint-Marc, P., 1978- Validité d'Orbitolina subconcava Leymerie, 1878, *Geobis*, n° 11, p. 745-753.
- Moullade, M. & Saint-Marc, P., 1975- Les "Mesorbitolines": revision taxinomique, importance stratigraphique et paleobiogeographique, *Bull. Soc. Geol. France*, 17: 828-842.
- Rey, J., Bilotte, M. & Peybernes, B., 1977- Analyse biostratigraphique et paleontologique de l'Albien marine D'estremadura (Portugal), *Geobis*, n° 10, p. 369-393.
- Roemer, F., 1849- Texas. Bonn, 464p.
- Sampo, M., 1969- Microfacies and microfossils of the Zagros area Iran (from pre-Permian to Miocene); *Internationa Sedimentary Petrographical Series*, v. XII. Leiden, J. Cuvillier and H.M.E. Schürmann, 1-157 p.
- Saint-Marc, P., 1970- Contribution a la connaissance du Crétacé basal au Liban.: *Revue de Micropaleontologie*, vol. 12, n. 4, pp. 224-233.
- Sartorio, D. & Venturini, S., 1988- Southern Tethys biofacies.: AGIP , Milan 235 p.
- Seyed-Emamai, K., Brants, A. & Bozorgnia, F., 1971- Stratigraphy of the Cretaceous rocks southeast of Esfahan. Geological survey of Iran, Report No. 20.
- Schroeder, R., 1962- Orbitolinen des Cenomans Sudwesteuropas.-*Pal. Zeitschr.*, vol. 38, no. 3-4, 171-202.
- Schroeder, R., 1975- General evolutionary trends in Orbitolinas, *Rev. Espanola micropal.* Numero Especial, pp. 117-123.
- Schroeder, R. & Neumann, M., 1985- " Les grands foraminifères du Crétacé moyen de la région méditerranéenne", *Geobios*, memoire special, 7: 1-161.
- Schlagintweit, F., 1990- Allochthonous urgonian limestones of the Northern calcareous Alps: facies and palaeogeographic framework within the Alpine Orogeny, *Cretaceous Research*, 11: 261-272.
- Simmons, M. D. & Hart, M. B., 1987- The biostratigraphy and microfacies of the Early to Mid-Cretaceous carbonates of Wadi Mi'aidin, Central Oman Mountains. In: Hart, M. B. (Ed.), *Micropaleontology of Carbonate Environments*. Ellis Harwood, Chichester, pp. 176-207
- Simmons, M. D., Whittaker J.E. & Jones R.W., 2000- Orbitolinids from Cretaceous sediments of the Middle East: a revision of the F.R.S. Henson and Associates Collection, Grzybowski Foundation Special Publication, 7: 137-411.
- Velic, I., 1988- Lower Cretaceous benthic foraminiferal biostratigraphy of the shallow-water carbonates of the Dinarides, *Benthos* 86, *Revue de Paleontologi*, special Issue 2: 467-475.
- Velic, I., 2007- Stratigraphy and palaeobiogeography of Mesozoic benthic foraminifera of the Karst Dinarides, *Geologia Croatica* vol. 60, no. 1, pp. 1-113
- Witt, W. & Gokdag, H., 1994- Orbitolinid biostratigraphy of the Shuaiba Formation (Aptian), Oman: implication for reservoir development. In: Simmons, M.D. (Ed.), *Micropaleontology and hydrocarbon exploration in the Middle East*. pp. 221-242. Chapman and Hall, London.

# Mesorbitolinas of Dariyan Formation in Dashtak Stratigraphic Section, North of Shiraz

F. Safari<sup>1</sup>, M. Yazdi-Moghadam<sup>2</sup>, F. Sajjadi<sup>1\*</sup>

<sup>1</sup> College of Science, Faculty of Geology, Tehran University, Tehran, Iran

<sup>2</sup> N.I.O.C Exploration Directorate, Tehran, Iran

Received: 2008 July 26 Accepted: 2009 February 22

## Abstract

To recognize different species of the genus *Orbitolina* and determine the age of the Dariyan Formation, the upper limy part of the Dariyan Formation in Dashtak section was sampled and studied. Based on the size, shape and complexity of embryonic apparatus, five species belonging to subgenus *Mesorbitolina* were recognized as below: *Orbitolina (Mesorbitolina) lotzei*, *Orbitolina (M.) parva*, *Orbitolina (M.) texana*, *Orbitolina (M.) subconcava*, *Orbitolina (M.) sp. cf. M. pervia*. According to stratigraphic distribution of the mesorbitolinids, the upper part of the Dariyan Formation can be ascribed to the late early Aptian-late Aptian. The early/late Aptian boundary coincides with first occurrence of *O. (M.) parva*

**Keywords:** *Mesorbitolina*, Aptian, Dariyan Formation, Dashtak stratigraphic section, North of Shiraz

For Persian Version see pages 31 to 40

\* Corresponding author: F. Sajjadi; E-mail: sajjadi@khayam.ut.ac.ir

# Separating the Sungun Copper Deposit Alteration Zones by Applying Artificial Neural Network

A. Hezarkhani<sup>1\*</sup>, P. Tahmasbi<sup>1</sup> & O. Asghari<sup>2</sup>

<sup>1</sup>Mining Engineering Department, Metallurgy and Petroleum , Amirkabir University of Technology, Tehran, Iran.

<sup>2</sup>Faculty of Mining Engineering, University of Kashan, Kashan, Iran.

Received: 2008 September 13 Accepted: 2009 July 18

## Abstract

Separation of alteration zones is one of the important processes in evaluation and identification of mining activities that provide great help to have better view of the region and its mineralization. Most of the alteration separation is based on petrological investigations and the other methods are less applied. Therefore, in this research, there is an attempt by applying RBPNN (Radial Basis Probabilistic Neural Network) to separate these alteration zones. Because of the special structure and easy designing of these networks, they are usually capable to solve the classification problem. The input data were 28 element analyses related to 45 geochemical samples and its outputs were classified alteration zones (potassic, transition, phyllitic) that was coding for every inputs data. After selection the training and testing data, the network has been prepared for training and then the data were inputs and the results were outputs. According to the results, the network could distinguish the difficult spatial relation between the inputs, with 28 spatial variables and classify those correctly. The calculated MSE (Mean Square Error) is 0.0163, which shows the good performance of network in this field.

**Key words :** Artificial neural networks, Alteration, Discriminate, Probabilistic, Sungun

For Persian Version see pages 41 to 46

\*Corresponding author: A. Hezarkhani; E-mail: Ardehz@cic.aut.ac.ir